

МИКРО-НАНОСЛОЙНЫЕ ПОКРЫТИЯ, СФОРМИРОВАННЫЕ МЕТОДОМ ВАКУУМНО-ДУГОВОГО ОСАЖДЕНИЯ С ИСПОЛЬЗОВАНИЕМ ВЧ-РАЗРЯДА

В.М. Береснев*, В.Т. Толок*, О.М. Швец**, Е.В. Фурсова*,
Н.Н. Чернышов*, Л.В. Маликов*

*Научный физико-технологический центр МОН и НАН Украины (Харьков)

**Национальный научный центр «Харьковский физико-технический институт»
Украина

Поступила в редакцию 12.06.2006

Показана возможность формирования слоистых покрытий TiN/Mo, TiN/БрАЖ9-4 методом вакуумно-дугового осаждения, с использованием ВЧ разряда, для очистки плазменного потока от макрочастиц. На основе расчета скоростей осаждения (толщины) определены технологические параметры, позволяющие формировать нанослоистые структуры. Установлены закономерности изменения фазово-структурного состава, микротвердости получаемых покрытий от давления, ускоряющего потенциала подложки. Изучены триботехнические характеристики покрытий в сравнении с покрытием TiN. Результаты триботехнических испытаний свидетельствуют, что нанослойные покрытия TiN/Mo, TiN/БрАЖ9-4 по своим эксплуатационным показателям существенно превышают покрытие TiN.

ВВЕДЕНИЕ

Использование технологий модификации материалов, путем ионно-лучевой и ионно-плазменной обработки не всегда обеспечивает функциональные свойства предъявляемые к рабочим поверхностям различных изделий работающих при высоких скоростях и температурах, высоких удельных нагрузках, агрессивных средах и т.д.

Наиболее эффективно решение этой задачи достигается применением покрытий. Такой подход экономически оправдан, поскольку позволяет сократить расход дефицитных и дорогостоящих материалов.

Анализ научных публикаций свидетельствует, что использование вакуумных-дуговых источников в качестве высокоионизированных, возбужденных компонентов потоков металлической плазмы позволяет создавать нанокристаллические и нанослойные материалы в виде покрытий на поверхности различных изделий, и тем самым улучшать эксплуатационные свойства материала [1-5].

Известно, что слоистые покрытия на основе металлов значительно отличаются от микроструктуры и свойств монофазных покрытий на основе простых тугоплавких соединений нитридов, карбидов и т.д. Поэтому, получение нанослойных покрытий с нанокристаллической структурой, высокими физико-механическими свойствами и эксплуатационными характеристиками возможно путем определенного выбора испаряемых материалов, углубления понима-

ния мало изученных процессов формирования покрытий в условиях осаждения потоков многокомпонентной плазмы.

Целью данной работы является получение нанослойных покрытий TiN/Mo, TiN/БрАЖ9-4, микрокристаллического покрытия Fe-TiC сnanoструктурой вакуумно-дуговым методом, с использованием ВЧ разряда, изучения влияния параметров осаждения на структуру, физико-механические свойства и триботехнические характеристики.

МАТЕРИАЛЫ, МЕТОДЫ ИССЛЕДОВАНИЯ ПОКРЫТИЙ

Для получения покрытий использовалась вакуумная установка, оснащенная ВЧ-генератором, мощностью 10кВт. Испаряемыми материалами являлись: титан ВТ1-00, молибден МЧВП, бронза БрАЖ9-4. Покрытия осаждали на полированные образцы, стали ВНС-15 (9Х13М3Д3Б2). Для очистки плазмы от макрочастиц использовались специальной конструкции диафрагмы, на которые подавалось переменное ВЧ напряжение ($U_{вч} = 1000В$). При этом, макрочастицы двигаясь прямолинейно, наталкиваются на диафрагму, не попадают на подложку, однако ионная компонента плазменного потока, за счет ВЧ поля направляется на подложку в обход преграды и тем самым позволяет получать бескапельные покрытия [6]. В качестве реакционного газа применялся газообразный азот.

Морфология поверхности покрытий изучалась при помощи растрового и электронного микроскопов. Элементный состав покрытий определялся методом рентгеноспектрального микроанализа («Camebax»). Фазовый состав покрытий определялся рентгенодифрактометрическим методом (ДРОН-3,0) с использованием $\lambda - \text{Cu} - K_{\alpha}$ излучения (НТУ «ХПИ»).

Измерения микротвердости покрытий осуществлялись по методике предложенной в работе [7], в основу которой положены измерения интегральной твердости покрытия и подложки при больших глубинах вдавливания. Микротвердость измерялась на ПМТ-3 при нагрузке 0,05...0,1Н. Значения H_u усреднялись по 10 измерениям. Испытания на износостойкость проводились по схеме плоскость-цилиндр на машине трения МИ-1М при скорости скольжения 1,0 м/с, в течение одного часа, как в сухую, так и в смазочной среде (масло АМГ-10 + 0,5% оксипрополированного глицерина) при различных нагрузках. В качестве цилиндров использовались полированные ($R = 0,08$ мкм) диски диаметром 40 мм стали X12M (HRC 57-58). Величина объемного износа покрытий рассчитывалась на основании профилографирования «дорожек» трения на образцах-колодках. Для этого после испытаний на износ с помощью профилометра-профилографа (модель 201) записывался рельеф поверхности покрытия в направлении, перпендикулярном продольной оси «дорожки» трения и рассчитывался объемный износ (W , мм^3). Величина износа контроллера W определялась методом взвешивания до и после испытаний на аналитических весах с погрешностью $\pm 0,1$ мг.

ОБСУЖДЕНИЕ РЕЗУЛЬТАТОВ:

1. СЛОИСТЫЕ ПОКРЫТИЯ TiN/Mo

Покрытия осаждали послойно, поверхность конденсации вращалась, перемещаясь к зоне титанового и молибденового источника плазмы, которые были расположены под углом 180° друг к другу. На основе расчета скоростей осаждения, была сформирована слоистая структура общей толщиной 1,5 мкм, и соотношением толщины на основе TiN и Mo 2:1, что по данным [8,9] обеспечивает высокие физико-механические, триботехнические и эксплуатационные характеристики получаемых покрытий. Расчетная толщина покрытия TiN составила ~30...40 нм, Mo ~15...20 нм. Перераспределение соотношения содержания фаз в покрытиях является результатом преимущественного синтеза TiN

по сравнению с MoN вследствие большего сродства титана с азотом, чем с Mo. Свободная энергия образования TiN в 4,8 раза выше, чем у Mo_2N .

Изучение морфологии поверхности полученных покрытий свидетельствует, что применение переменного ВЧ напряжения, подаваемое на диафрагму, обеспечивает отсутствие макрокапель на поверхности покрытия. Увеличение потенциала смещения подаваемого на подложку, в частности для Mo (150...350В) [10] приводит к распылению (травлению) поверхности, а также осаждению молибдена, взаимодействию его с компонентами предыдущего слоя (TiN) за счет повышенной активности процессов взаимодействия заряженных частиц с твердым телом.

Характерной особенностью дифрактограмм, полученных TiN/Mo покрытия, является размытие дифракционных максимумов составляющих покрытие фаз, их относительно малые интенсивности, которые свидетельствуют о высокой степени искажений кристаллической решетки и малой величине области когерентного рассеяния (О.К.Р.). Покрытия, полученные при $U_{\text{см}} = -100$ В, включают в себя TiN, MoN, с текстурой $<111>$ в плоскости конденсации. При содержании Mo в покрытии 16 ат.%, микротвердость составила 28 ГПа.

В покрытиях, полученных при осаждении ($U_{\text{см}} = -200$ В, $T_k \sim 500 \dots 550^\circ\text{C}$) снижение уровня микроискажений, степени совершенства текстуры, сжимающих напряжений является следствием равновесных условий роста формируемого покрытия. Наличие диффузного гало под малыми углами отражения рентгеновских лучей и на его фоне малоинтенсивных сильно размытых дифракционных максимумов свидетельствует о нанокристаллической структуре, высоком уровне микроискажений. Увеличение микротвердости, по-видимому, обусловлено радиационно-термическими процессами [11], что приводит к уплотнению покрытия. В образующем покрытии формируется $\text{Ti}_{x}\text{Mo}_{1-x}\text{N}$, не наблюдаются максимумы нитридов молибдена.

В дальнейшем увеличение напряжения, а значит, температуры осаждения приводит к снижению микротвердости получаемых покрытий до $H_m \sim 24$ ГПа. Общее содержание Mo в покрытиях с увеличением $U_{\text{см}}$ до 300 В уменьшается от 16% до 6,1 ат.%, при этом возрастает интенсивность дифракционных максимумов TiN_{x} , снижается уровень интенсивности некогерентного рассеяния рентгеновских лучей, искажения кристаллической

решетки, что по-видимому, приводит к равновесному условию формирования структуры покрытий. Однако, наряду с этим, существенное значение в изменении структурно-фазового состояния, а значит, и H_m имеют радиационно-термические активируемые процессы, приводящие, судя по всему, к распаду неравновесных твердых растворов, метастабильных фаз, а также к формированию твердых растворов $Ti_xMo_{1-x}N$ на основе растворения нитридов Ti и Mo на границе раздела слоев.

Известно, что при заданных условиях осаждения обеспечивается формирование стехиометрических состав TiN слоев, микротвердость (H_m) практически не зависит от U_{cm} и T_k и составляет 22...24 ГПа [12]. В тоже время, для монофазных покрытий Mo_2N фазовый состав, структурное состояние зависит не только от P_N , но и от U_{cm} и T_k (для Mo_2N оптимальным является $U_{cm} \sim 25...30$ В) [13,14].

Это и является одним из основных факторов, определяющих фазовый состав, изменения значения H_m формируемых слоистых Ti-Mo-N покрытий.

Рассмотрим теперь возможности применения полученных покрытий в узлах трения. Для этого нами были изучены триботехнические характеристики полученных покрытий в сравнении с TiN . В табл. 1 приведены результаты триботехнических испытаний нанослойных покрытий TiN/Mo в сравнении с TiN .

Таблица 1

Триботехнические характеристики нанослойного покрытия TiN/Mo ($x = 1,0$ м/с; $P=50$ Н; $d = 1,5$ мкм)

Основная фаза	Число слоев	R_s , мкм	$W_0 \cdot 10^{-3}$, мм 3	W_{kp} , г	f_{kp}	P_{kp} , Н
TiN/Mo	Многослойный	0,3	1,0	0,1	0,17	610
TiN	Однослойный	0,25	1,0	2,1	0,38	550

Как видно из табл. 1 слоистое покрытия TiN/Mo , обладает высокой критической нагрузкой задирообразования по сравнению с монофазным покрытием TiN .

Известно, что уменьшение слоев до наноразмерных величин обуславливает повышение механических характеристик покрытий вследствие увеличения прочностных и упругих свойств материалов. Границы разделов между слоями служат барьерами распространению микротрещин, возникающих под воздействием нагрузки в процессе трения [15]. В связи с этим разрушение локализуется в пределах отдельных слоев,

что и обеспечивает повышение трибомеханических характеристик покрытия и эксплуатационных свойств изделия.

2. СЛОИСТЫЕ ПОКРЫТИЯ

TiN/БРАЖ9-4

Параметры осаждения были выбраны на основе модели расчета скоростей осаждения, позволяющие формировать слоистую структуру толщиной 2,5 мкм и соотношением толщины на основе TiN (40 нм) и БРАЖ9-4 (~13 нм) 3:1, что по данным [16,17] обеспечивает высокие физико-механические, триботехнические и эксплуатационные характеристики получаемых покрытий.

В процессе нанесения покрытий плоскость конденсации на которой размещались образцы, вращалась со скоростью 9 об/мин вокруг оси камеры, поочередно пересекая потоки плазмы, генерируемые титановым и бронзовым источниками, расположенными, пол углом 180° друг к другу. Характерной особенностью дифрактограммы $TiN/БРАЖ9-4$ покрытия, является наличие диффузного гало под малыми углами отражения, не идентифицированных отображений (табл. 3). Размытие дифракционных максимумов составляющих покрытие фаз, их относительно малые интенсивности являются следствием наноструктурного состояния, высокого уровня микроискажений [18], при этом содержание меди в покрытии составляет 1,6 %.

Возрастание микротвердости покрытия до 30 ГПа ($U_{cm}=200$ В), обусловлено уменьшением соотношения образующих фаз TiN , Cu , $Ti_xCu_{1-x}N$, образованием неравновесных твердых растворов, не идентифицированных фаз, увеличением уровня микроискажений с одной стороны, а с другой, по-видимому, обусловлено радиационно-термическими процессами [19], что приводит к уплотнению покрытия.

Таблица 2

Технологические параметры и условия эксперимента

Технологические параметры	Значения параметров	Условия эксперимента
U_{cm} , В	- 100-300	Время осаждение: 90мин; $v=9$ об/мин;
P_N , Па	$2 \cdot 10^{-3}$	$I_{Ti}=90$ А; $I_{Mo}=180$ А;
T , С	350...600	$I_{плазма}=60$ А; $nR=0,5$

Дальнейшее повышение потенциала смещения до 300 В (температуры осаждения до 600 °С) приводит к падению микротвердости покрытий до 10 ГПа. Это обусловлено превалированием радиационно-термически

активируемых процессов, приводящих к отжигу дефектов, релаксации искажений в процессе осаждения, к формированию равновесных фаз TiN, Cu, $Ti_xCu_{1-x}N$ – составляющих слоев покрытия.

Таблица 3
Фазовый состав TiN/БрАЖ9-4 покрытий, микротвердость, период решетки, потенциал смещения.

Ускорение излучения напряжение $U, \text{ В}$	Микротвердость $H_p, \text{ ГПа}$	Фаза (hkl)	Текстура, фаза	$a, \text{ нм}$
100	26	$TiN_{x}(111), Cu(100)$	$TiN_x(111)$	0,4244
		$TiO_2(100)$		
200	30	$Ti_xCu_{1-x}N$, тело	$Ti_xCu_{1-x}N(200)$	0,4195
300	10	$Ti_{0.1}(111)$	$Ti_xCu_{1-x}N(200)$	0,4167

Это является одним из основных факторов определяющих фазовый состав, значение H_m формируемых слоистых покрытий TiN+БрАЖ9-4. При этом существенное значение в изменении структурно-фазового состояния, а, следовательно, H_m имеют эффекты, связанные с радиационно- и термически стимулированными процессами, сопровождающиеся распадом метастабильных фаз, а также образованием твердого раствора $Ti_xCu_{1-x}N$ на основе растворения меди в нитриде титана, на границе раздела слоев. Результаты изучения триботехнические свойства наноосложенных покрытий TiN/БрАЖ9-4 толщиной 2,5 мкм в сравнении с монофазным покрытием TiN приведены в табл. 4. Как видно, покрытия TiN/БрАЖ9-4 обладают высокой критической нагрузкой задирообразования по сравнению с монофазным покрытием TiN.

Таблица 4

Триботехнические характеристики наносложных покрытий ($x = 1,0 \text{ м/с}$; $P=100 \text{ Н}$, масло АМГ-10)

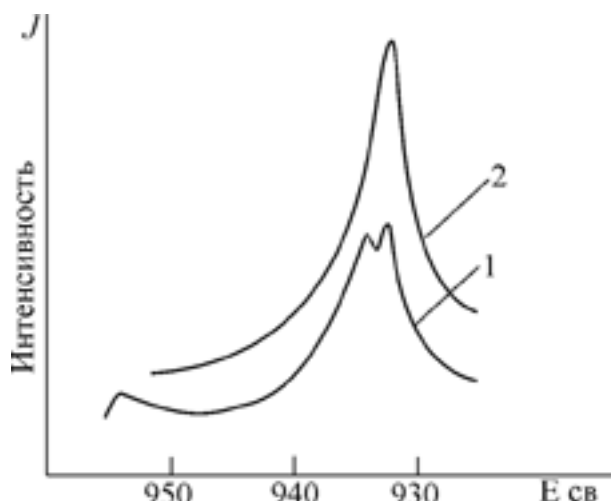
Основная фаза	Число слоев	$R_{\text{ср}}$ мкм	$W_{\text{ср}} \cdot 10^{-3}$, нм 2	$W_{\text{ср}}, \text{ Г}$	$\xi_{\text{ср}}$	$P_{\text{ср}}, \text{ Н}$
TiN/БрАЖ9-4	Многослойный	0,3	1,9	0,1	0,09	1240
TiN	Однослойный	0,25	1,9	2,1	0,17	1100

Полученные результаты, свидетельствуют, что в смазочной среде в результате физико-химических реакций на поверхности могут создаваться условия, способствующие более равномерному распределению напряжений и снижению интенсивности разрушений контактирующих материалов. Так, изучение морфологии поверхности трения контртел по покрытию TiN/БрАЖ9-4 в смазочной среде методом растровой микроскопии свидете-

льствует, что в зоне трения действительно происходит существенные изменения – перенос металлической пленки на контртело (рис. 1).



Рис. 1. Морфология поверхности.

Рис. 2. Вид спектра меди Cu2p3/2 на поверхности трения контртела трения покрытия 1– Cu_2O ($E = 932,6 \text{ эВ}$); 2– CuO ($E = 933,8 \text{ эВ}$)

Приведенный факт подтверждается исследованием дорожек трения покрытий TiN/БрАЖ9-4 методом РФЭС (рис. 2). Изучение спектра поверхности трения покрытия показывает, что на ней присутствует как окись, так и двуокись меди. Основная отличительная черта работы пары трения сталь X12M – покрытие TiN/БрАЖ9-4 связана, по-видимому, с реализацией эффекта избирательного переноса. В результате изучения поверхности контртела методом рентгеноспектрального анализа, наблюдаются отдельные зоны с металлической пленкой (рис. 3).

Полученные результаты можно объяснить с помощью конфигурационной модели вещества (КМВ) [20]. Согласно этой модели, при трении разноименных контактирующих пар, в нашем случае, локализованные

электроны меди имеют конфигурацию d^{10} , которая менее стабильна, чем конфигурация d^5 , свойственная стали (железу), что и приводит к обогащению поверхностей трения. Это, по-видимому, обуславливает перенос меди на стальную поверхность, образование поверхностной пленки на обеих поверхностях трения. Слоистое покрытие TiN/БрАЖ9-4, характеризуются, кроме того, и наибольшей стабильностью коэффициента трения. Таким образом, по совокупности свойств покрытия TiN-БрАЖ9-4 является наиболее интересными и перспективными для промышленного использования.

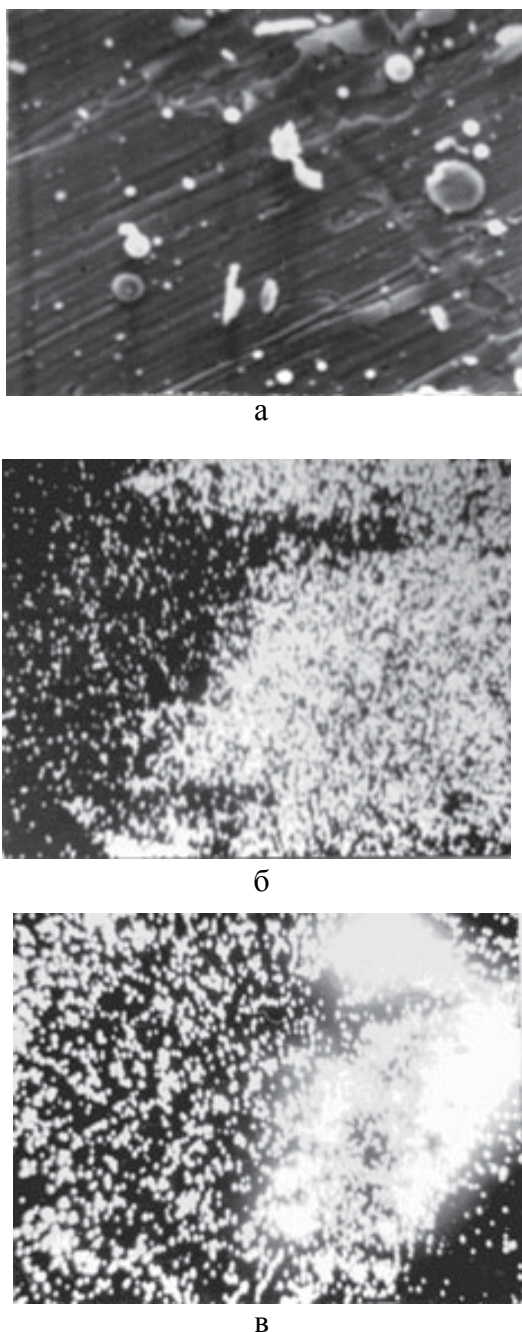


Рис. 3. Микроструктура поверхности корнртела (а) и распределения Cu через 30 мин (б) и 1 часа (в) эксплуатации (б, в – съемки в лучах CuK_α); х500.

ВЫВОДЫ

1. Показана возможность создания нанослойных TiN/Mo, TiN/БрАЖ9-4 покрытий, методом вакуумно-дугового осаждения с использованием для очистки плазменного потока от микрочастиц ВЧ разряда, в условиях вращения плоскости конденсации относительно плазменных потоков.

2. Для слоистых покрытий установлено, изменение от U_{cm} (энергии ионов) фазово-структурных характеристик у, Н получаемых покрытий. Возрастание микротвердости слоистых покрытий связано не только со структурно-фазовым состоянием покрытия, но и с радиационно-термическими процессами его формирования, особенностями структурного состояния получаемых слоистых структур.

3. При трении системы сталь X12M – покрытия TiN/БрАЖ9-4 в среде масло АМГ-10+0,5% глицерина обнаружен эффект избирательного переноса меди на контртело.

4. На основе анализа полученных результатов установлено, что наилучшими свойствами обладают нанослойные покрытия TiN/БрАЖ9-4 и TiN/Mo. Их изнашивающая способность уменьшилась в 20 раз по сравнению с TiN, критическая нагрузка увеличилась на 12% по сравнению с TiN.

ЛИТЕРАТУРА

1. Beresnev V.M. Ion-plasma multicomponent films layers // International Conf. Modification of Properties of Surface Layers MPSL. – Sumy (Ukraine). – 1993. – P. 43.
2. Knotek O., Luffer F. and. Krdmer G. Multikomponent and multilayer physcall vapor deposited coatings for cutting tools // Surf. And Coat. Technol.– 1992.– v. 54/55.– P. 241– 248.
3. Кунченко Ю.В., Кунченко В.В., Картмазов Г.П., Неклюдов И.М. О формировании микро-nano-кристаллических покрытий методом вакуумно-дугового осаждения // Физическая инженерия поверхности.– 2004.– Т. 2, № 1. – С. 102– 108.
4. Кунченко В.В., Кунченко Ю.В., Картмазов Г.П., Неклюдов И.М., Мигаль А.А., Романов А.А., Гладких Н.Т., Крышталь А.П., Казаринов Ю.Т. Наноструктурные сверхтвердые нс-TiN/ б –Si₃N₄ покрытия, полученные методом вакуумно-дугового осаждения //Вопросы атомной науки и техники-сер.”Физика радиационных повреждений и радиационное материаловедение”.– 2006.– №4 (89).– С. 185– 190.
5. Кунченко Ю.В., Кунченко В.В., Неклюдов И.М., Карамазов Г.П., Андреев А.А. Слоистые Ti-Cr-N покрытия, получаемые методом вакуумно-дугового осаждения //

- Вопросы атомной науки и техники.– Сер. "Физика радиационных повреждений и радиационное материаловедение".– 2007.– № 2 (90).– С. 203–214.
6. Положий К.И., Береснев В.М. Подавление капельной фазы в вакуумно-дуговых распылительных системах // Восточно-Европейский журнал передовых технологий. – 2005.– №5. – С. 69–72.
 7. Манника И.П., Маникс Я.Е., Муктепал Ф.О. Определение микротвердости тонких пленок и покрытий.– Саласпилс: Институт Физики, 1990.– 38 с.
 8. Износостойкое покрытие: А.с. 906190 МКИ С23 С13/02/ М.С. Борушко, В.М. Береснев, В.Н. Барков, В.М. Мацевитый, И.А. Бурахович, Я.М. Шкловский (СССР). – № 2780554. Заявлено 04.07.79. Опубл. 14.10.1981, Бюл. № 38. – 2 с.
 9. Beresnev V.M., Geluh O.N., Kovalenko I.A., Fedorenko A.I. The study of friction and the ion-plasma coverings // Intern. Conf. Modification of Properties of Surface Layers MPSL. – Sumy (Ukraine). – 1993. – Р. 90.
 10. Шулаев В.М., Андреев А.А. Высокотвердыеnanoструктурные Mo-N покрытия // Вестник Харьковского национального автомобильно-дорожного университета.– 2006.– Вып. 33.– С.57– 59
 11. Бакай А.С., Слепцов С.Н., Жуков А.И. Радиационно-диффузионная модель уплотнения пленок, осаждаемых из ионно-атомных потоков. // Металлофизика и новейшие технологии. – 1995.– Т. 17, № 9.– С. 42– 51.
 12. Андреев А.А., Саблев В.П., Шулаев В.М., Григорьев С.Н. Вакуумно-дуговые устройства и покрытия.– Харьков: ННЦ "ХФТИ", 2005. – 235 с.
 13. Perry A.J., Baouchi A.W., Peterson J.H., Posder S.D. Crystal structure of molybdenum nitride films made by reactive cathodic arc evaporation // Surface and Coating Technology.– 1992.– v.54/55.– P. 261– 265.
 14. Андреев А.А., Булатова Л.В., Булатов А.С., Кострица Т.В., Романов А.А. Структура высокотвердых покрытий на основе молибдена, полученных при конденсации плазмы вакуумно-дугового разряда // МИТОМ.– 1981.– №5.– С.33– 35.
 15. Табаков В.П., Смирнов М.Ю., Циркин А.В. Разработка многослойных покрытий для условий прерывистого резания // Резание и инструмент в технологических системах. – 2005. – № 69. – С. 301– 310.
 16. Мацевитый В.М., Полянин Б.А., Береснев В.М., Удовенко Е.С. Нанесение бронзового покрытия методом вакуумно-плазменной конденсации // Авиационная промышленность.– 1985.– № 8.– С. 60.
 17. Береснев В.М. Вакуумно-дуговые многослойные покрытия // Физическая инженерия поверхности.– 2005.– Т.3, №1– 2.– С.79– 81.
 18. He J.L., Sethuhara Y., Shimuzu I., Miyake S. Structure refinement and hard-ness encancement of titanium films addition of copper // Surface and Coatings Tecnology.– 2001.–V.137.– P. 38– 42.
 19. Евдокимов И.Н. Влияние неравновесных фазовых переходов в твердых телах на процессы, вызываемые ионной бомбардировкой // Поверхность.– Серия "Физика, химия, механика".– 1989.– Т.10.– С. 5–18.
 20. Самсонов Г.В., Прядко И.Ф., Прядко Л.Ф. Конфигурационная модель вещества. – К.: Наукова думка, 1971. – 230 с.

**МІКРО-НАНОШАРОВІ ПОКРИТТЯ
СФОРМОВАНІ МЕТОДОМ ВАКУУМНО-
ДУГОВОГО ОСАЖДЕННЯ З
ВИКОРИСТАННЯМ ВЧ-Р0ЗРЯДУ**
**В.М. Береснев, В.Т. Толок, О.М. Швець,
О.В. Фурсова, М.М. Чернишов,
Л.В. Маліков**

Доведено можливість формування шарових покріттів TiN/Mo, TiN/БрАЖ9-4 методом вакуумно-дугового осадження з використанням ВЧ-розряду, для очищення плазмового потоку від мікрочастинок. На основі розрахунків швидкості осадження (товщини) визначені технологічні параметри, які дозволяють формувати наношарові структури. Установлено закономірності зміни фаза-структурного складу, мікротвердості отриманих покріттів від тиску, прискорюваного потенціалу напруги, який подається на підкладинку. Вивчені триботехнічні характеристики покріттів у порівнянні з покріттям TiN. Результати триботехнічних випробувань свідчать, що наношарові покріття TiN/Mo, TiN/БрАЖ9-4 за своїми експлуатаційними показниками суттєво перевищують покріття TiN.

**MICKRO-NANOLAYER COVERINGS
PRODUCED BY THE METHOD
VACUUM-ARC DEPOSITION
FROM USE THE HF-DISCHARGE**

**V.M. Beresnev, V.T. Tolok, O.M. Shvets,
E.V. Fursova, N.N. Chernyshov, L.V. Malikov**

The opportunity of formation of layered coverings TiN/Mo, TiN/БрАЖ9-4, by a method of vacuum-arc sedimentation with use HF of the discharge, for clearing a plasma stream of microparticles is shown. On the basis of calculations speed (thickness) the technological parameters are determined, allowing to form nanolayers structures. Laws of change phase-structural structure, microhardness of received coverings from the pressure, the accelerating potential of a substrate are established. Shown, that a study flowing of friction characteristics of coverings in comparison with covering TiN. Results friction tests testify, that nanolayer coverings TiN/Mo, TiN/БрАЖ9-4 on the operational parameters essentially exceed covering TiN.